

GUIDA COMPLETA: CINEMATICA DIFFERENZIALE E DINAMICA DEI ROBOT

INDICE

1. [Cinematica Differenziale - Teoria](#)
 2. [Equazioni di Chiusura](#)
 3. [Statica dei Manipolatori](#)
 4. [Dinamica dei Robot](#)
 5. [Esempi Generici](#)
 6. [Esempio Completo RRP](#)
 7. [Formule di Riepilogo](#)
-

1. CINEMATICA DIFFERENZIALE - TEORIA

1.1 Atto di Moto di un Rigido sul Piano

Definizione

L'atto di moto descrive lo stato cinematico istantaneo di un corpo rigido, caratterizzato da:

- Velocità lineare di un punto di riferimento
- Velocità angolare del corpo

Legge Fondamentale della Cinematica

$$V_B = V_A + \omega \times (B - A)$$

Dove:

- V_B , V_A : velocità dei punti B e A
- ω : velocità angolare del corpo rigido
- $(B - A)$: vettore posizione relativo

Centro di Velocità (CIR - Centro Istantaneo di Rotazione)

Definizione: Punto C del piano che ha velocità nulla all'istante considerato

Proprietà:

- $V_C = 0$
- Tutti i punti del rigido ruotano istantaneamente attorno a C
- Determinazione grafica: intersezione delle normali ai vettori velocità di due punti

Caso particolare: Moto traslatorio \rightarrow CIR all'infinito ($\omega = 0$)

1.2 Legge di Composizione delle Velocità

Velocità Lineari (moto relativo)

$$V_{\text{assoluta}} = V_{\text{trascinamento}} + V_{\text{relativa}}$$
$$V_P(a) = V_P(t) + V_P(r)$$

Velocità Angolari

$$\omega_{\text{assoluta}} = \omega_{\text{trascinamento}} + \omega_{\text{relativa}}$$

Nota: Le velocità angolari si sommano vettorialmente

1.3 Accelerazione di un Punto di un Rigido

Formula Generale

$$a_B = a_A + \alpha \times (B - A) + \omega \times (\omega \times (B - A))$$

Dove:

- a_A : accelerazione del punto A
- α : accelerazione angolare
- $\omega \times (\omega \times (B - A))$: accelerazione centripeta

Componenti

- **Accelerazione tangenziale:** $a_t = \alpha \times r$ (dovuta ad α)
 - **Accelerazione normale:** $a_n = \omega^2 \times r$ (dovuta a ω)
-

1.4 Teorema di Rivals

Enunciato: In un corpo rigido, le accelerazioni di due punti qualsiasi hanno la stessa componente lungo la congiungente i due punti.

Formula:

$$a_B \cdot (B - A) = a_A \cdot (B - A)$$

Applicazione: Utile per determinare accelerazioni quando si conosce la direzione del moto di un punto.

1.5 Teorema di Coriolis

Accelerazione Assoluta in Moto Relativo

$$a_P(a) = a_P(t) + a_P(r) + a_P(c)$$

Dove:

- $a_P(c) = 2\omega \times V_P(r)$: accelerazione di Coriolis
- $a_P(t)$: accelerazione di trascinamento
- $a_P(r)$: accelerazione relativa

Quando si manifesta: Nei sistemi con moto relativo rispetto a un riferimento rotante (es. giunto prismatico su membro rotante)

Forma Vettoriale Completa (coordinate polari)

In un riferimento polare (\hat{r}, θ):

$$a_P = [\ddot{r} - \omega^2 r] \hat{r} + [\dot{\alpha}r + 2\omega\dot{r}] \theta$$



componente radiale componente tangenziale

1.6 Atto di Moto di un Rigido nello Spazio

Rappresentazione

$$V = [v] \text{ (velocità lineare, } 3 \times 1\text{)}$$

$$[\omega] \text{ (velocità angolare, } 3 \times 1\text{)}$$

Teorema di Mozzi

Ogni atto di moto nello spazio può essere rappresentato come **moto elicoidale** (rotazione + traslazione lungo lo stesso asse)

Asse centrale: Luogo dei punti con velocità parallela a ω

1.7 Jacobiano Geometrico

Definizione Concettuale

Lo Jacobiano geometrico è la matrice che dice come le velocità dei giunti influenzano la velocità dell'end effector.

Equazione Fondamentale

$$V = J(q) \cdot \dot{q}$$

Dove:

- V : velocità dell'end effector (lineare + angolare)
- $J(q)$: matrice Jacobiana geometrica ($6 \times n$)
- \dot{q} : velocità dei giunti ($n \times 1$)

Interpretazione Fisica

- Ogni **colonna** dello Jacobiano rappresenta come il movimento di UN singolo giunto influenza la velocità dell'end effector
- Ogni **riga** rappresenta una componente della velocità dell'end effector ($x, y, z, \omega_x, \omega_y, \omega_z$)

Proprietà Fondamentali

- **Dimensione:** $6 \times n$ (6 componenti di velocità, n giunti)
- **Dipendenza dalla configurazione:** $J(q)$ cambia con la posizione dei giunti
- **Singolarità:** Quando $\det(J) = 0$, il robot perde gradi di libertà
- **Dualità cinetostatica:** J^T trasforma forze dell'end effector in coppie ai giunti

Forma Esplicita dello Jacobiano Geometrico

$$\begin{bmatrix} \dot{p} \\ \dot{\omega} \end{bmatrix} = J(q) \cdot \dot{q}$$

$$J(q) = [z_0 \times (P - P_0) \ z_1 \times (P - P_1) \ \dots \ z_{n-1} \times (P - P_{n-1})]$$

$$\begin{bmatrix} z_0 & z_1 & \dots & z_{n-1} \end{bmatrix}$$

Come Ricavare i Termini del Prodotto T

z_{i-1} : Si prende dalla terza colonna della matrice R_{i-1} (parte rotazionale 3×3 di $T_{0,i-1}$)

P : Primi tre elementi della quarta colonna di T_{0n} (posizione end effector)

P_{i-1} : Primi tre elementi della quarta colonna di $T_{0,i-1}$ (posizione giunto $i-1$)

Struttura della matrice $T_{0,i-1}$:

$$T_{0,i-1} = [R_{i-1} \ P_{i-1}]$$

$$\begin{bmatrix} 0 & 1 \end{bmatrix}$$

Dove R_{i-1} è la sottomatrice rotazionale 3×3 e P_{i-1} è il vettore posizione 3×1 .

1.8 Inversione della Cinematica Differenziale

Problema

Dato V desiderato, trovare \dot{q}

Soluzione

$$\dot{q} = J^{-1}(q) \cdot V$$

Casi

- $n = 6$ (manipolatore non ridondante): J quadrata \rightarrow inversione diretta
 - $n > 6$ (ridondante): $J^+ = (J^T J)^{-1} J^T$ (pseudoinversa)
 - $n < 6$ (sotto-attuato): soluzione non esiste sempre
-

1.9 Singolarità Cinematiche

Definizione

Configurazioni dove $\det(J) = 0$

Conseguenze

1. Perdita di gradi di libertà

2. Impossibilità di generare velocità in certe direzioni
3. Copie ai giunti tendono all'infinito

Tipi di Singolarità

- **Singolarità al contorno:** configurazioni limite (braccio completamente esteso/retratto)
- **Singolarità interne:** configurazioni particolari all'interno dello spazio di lavoro
- **Singolarità di polso:** allineamento di assi del polso

Indice di Manipolabilità

Misura "quanto lontano" dalle singolarità:

$$\mu = \sqrt{\det(J \cdot J^T)}$$

2. EQUAZIONI DI CHIUSURA

2.1 Quando Servono le Equazioni di Chiusura?

SERVONO per Catene Cinematiche CHIUSE

Esempi:

- Quadrilatero articolato
- Biella-manovella
- Pantografo
- Robot paralleli (Delta robot, Stewart platform)

NON SERVONO per Catene Aperte

Esempi:

- Manipolatori RRP, RRR, SCARA
- Quando tutti i giunti sono indipendenti

2.2 Differenza Fondamentale

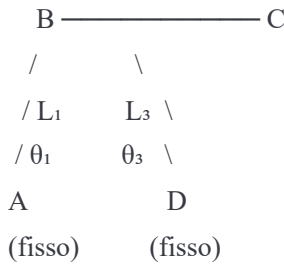
Catena Aperta (es. RRP)

E (end effector libero)

/
 / Link 3
 /
 A
 /
 / Link 2
 /
 O (base fissa)

- Giunti indipendenti
- $m = n$ (DOF = numero giunti)
- NO equazioni di chiusura necessarie

Catena Chiusa (es. Quadrilatero)



- Giunti vincolati tra loro
- $m < n$ (Grübler: $m = 3b - 2r$ per 2D)
- SERVONO equazioni di chiusura!

2.3 Gradi di Mobilità

Meccanismi Planari (2D)

$$m = 3b - 2(r + p)$$

Dove:

- b = numero di membri mobili
- r = giunti rotoidali
- p = giunti prismatici

Meccanismi Spaziali (3D)

$$m = 6b - 5(r + p)$$

2.4 Procedimento con Equazioni di Chiusura

Step 1: Sistema di Riferimento

Definire un sistema di riferimento fisso

Step 2: Vettori

Associare un vettore a ogni membro che congiunge coppie cinematiche

Step 3: Poligono Chiuso

Disporre i vettori per ottenere un poligono chiuso

Step 4: Angoli θ

Mettere angoli θ antiorario positivi dalla coda di riferimento al sistema di riferimento

Step 5: Equazioni Vettoriali di Chiusura

$$L_1 + L_2 + L_3 + \dots + L_n = 0$$

Step 6: Scomposizione

Scomporre lungo x e y:

$$\sum L_i \cos(\theta_i) = 0$$

$$\sum L_i \sin(\theta_i) = 0$$

Step 7: Risoluzione

Risolvere il sistema (lunghezze note, angoli incogniti dipendenti)

2.5 Metodo Newton-Raphson

Quando Usarlo

Per risolvere sistemi non lineari del tipo:

$$f(\theta) = 0$$

Procedimento

1. Identificare parametri noti e incogniti

2. Teorema di Carnot (se necessario)

In un triangolo con lati a , b , c e angolo γ opposto al lato c :

$$c^2 = a^2 + b^2 - 2ab \cdot \cos(\gamma)$$

oppure

$$\cos(\gamma) = (a^2 + b^2 - c^2)/(2ab)$$

Applicazioni:

- Triangoli nel meccanismo
- Equazioni di vincolo aggiuntive
- Risoluzione di configurazioni

3. Costruire il sistema $f(\theta) = 0$

4. Calcolare lo Jacobiano

$$J = [\partial f_1 / \partial \theta_1 \ \ \partial f_1 / \partial \theta_2 \ \ ...] \\ [\partial f_2 / \partial \theta_1 \ \ \partial f_2 / \partial \theta_2 \ \ ...] \\ [\dots \ \ \dots \ \ \dots]$$

5. Iterazione di Newton-Raphson

$$\theta_{k+1} = \theta_k - J^{-1}(\theta_k) \cdot f(\theta_k)$$

Ripetere finché $|f(\theta_k)| < \varepsilon$ (tolleranza)

6. Derivazione per Velocità e Accelerazioni

Derivare le equazioni di chiusura rispetto al tempo

2.6 Analisi delle Velocità con Equazioni di Chiusura

Derivazione delle Equazioni di Chiusura

Se ho:

$$f(\theta_1, \theta_2, \theta_3) = 0$$

Derivo rispetto al tempo:

$$\partial f / \partial \theta_1 \cdot \theta_1 + \partial f / \partial \theta_2 \cdot \theta_2 + \partial f / \partial \theta_3 \cdot \theta_3 = 0$$

In forma matriciale:

$$J \cdot \theta = 0 \text{ (se tutti vincolati)}$$

oppure

$$J_{\text{dipendenti}} \cdot \theta_{\text{dipendenti}} = -J_{\text{indipendenti}} \cdot \theta_{\text{indipendenti}}$$

Questo mi dà le velocità dei parametri dipendenti!

3. STATICÀ DEI MANIPOLATORI

3.1 Classificazione delle Forze

Forze Esterne vs Interne

- **Forze esterne:** Agiscono dall'ambiente esterno sul sistema
- **Forze interne:** Agiscono tra i componenti del sistema (si elidono nell'equilibrio globale)

Forze Motrici vs Resistenti

- **Motrici:** Favoriscono il moto del sistema
- **Resistenti:** Si oppongono al moto del sistema

Forze Attive vs Reattive

- **Attive:** Applicate dall'esterno o generate internamente
- **Reattive vincolari:** Generate dai vincoli
 - Coppia prismatica: Forza lungo l'asse, momento perpendicolare
 - Coppia rotoidale: Momento lungo l'asse, forza perpendicolare

3.2 Forza d'Inerzia (Principio di d'Alembert)

Definizione

$$F' = -ma$$

Principio di d'Alembert

$$F + F' = 0$$

Dove F sono le forze applicate e F' le forze d'inerzia.

Interpretazione: Posso trattare un problema dinamico come un problema statico aggiungendo le forze d'inerzia

3.3 Equazioni Cardinali della Statica

Prima Equazione Cardinale

$$\Sigma F = 0 \text{ (equilibrio delle forze)}$$

Seconda Equazione Cardinale

$$\Sigma M = 0 \text{ (equilibrio dei momenti)}$$

In Forma Componenti (2D)

$$\Sigma F_x = 0$$

$$\Sigma F_y = 0$$

$$\Sigma M_u = 0$$

3.4 Principio dei Lavori Virtuali

Enunciato

Un sistema è in equilibrio se il lavoro virtuale delle forze attive è nullo per ogni spostamento virtuale compatibile con i vincoli.

Formula

$$\delta W = \Sigma(F_i \cdot \delta r_i) + \Sigma(M_i \cdot \delta \theta_i) = 0$$

Vantaggi

- Non richiede calcolo delle reazioni vincolari
- Utile per sistemi con molti vincoli
- Metodo sistematico

3.5 Statica dei Manipolatori - Dualità Cinetostatica

Equazione Fondamentale

$$\tau = J^T(q) \cdot F$$

Dove:

- τ : vettore delle coppie/forze ai giunti ($n \times 1$)
- $J^T(q)$: trasposta dello Jacobiano ($n \times 6$)
- F : forze/momenti applicati all'end effector (6×1)

Interpretazione Fisica

- $\tau = J^T(q) \cdot \gamma$: "Forza che il TCP applica all'esterno"
- $\tau = J^T(q) \cdot f_{ext}$: Forze esterne trasformate ai giunti

3.6 Principio di Dualità Cinetostatica

Il Principio

Esiste una dualità tra cinematica e statica tramite lo Jacobiano:

Cinematica:

$$V = J(q) \cdot \dot{q}$$

Statica:

$$\tau = J^T(q) \cdot F$$

Dimostrazione tramite Lavoro Virtuale

Lavoro fatto dai giunti:

$$\delta W_{giunti} = \tau^T \cdot \delta q$$

Lavoro fatto all'end effector:

$$\delta W_{ee} = \mathbf{F}^T \cdot \delta \mathbf{x}$$

Conservazione dell'energia:

$$\tau^T \cdot \delta q = \mathbf{F}^T \cdot \delta \mathbf{x}$$

Usando $\delta \mathbf{x} = J \cdot \delta q$:

$$\tau^T \cdot \delta q = \mathbf{F}^T \cdot J \cdot \delta q$$

Per ogni δq :

$$\tau = J^T \cdot \mathbf{F} \quad \checkmark$$

3.7 Calcolo del Momento

Formula Generale

$$\mathbf{M} = \mathbf{r} \times \mathbf{F}$$

Dove:

- \mathbf{r} : vettore posizione dal punto di applicazione al centro di rotazione
- \mathbf{F} : forza applicata
- \times : prodotto vettoriale

Forma Scalare (2D)

$$M = r \cdot F \cdot \sin(\theta)$$

Dove θ è l'angolo tra \mathbf{r} e \mathbf{F}

Braccio della forza:

$$b = r \cdot \sin(\theta) \quad (\text{distanza perpendicolare})$$

$$M = b \cdot F$$

3.8 Equilibrio delle Catene Chiuse Planari

Notazione

- $f_{e,2}$: Forza dall'esterno verso l'interno (membro 2)
- $f_{2,e}$: Forza dal membro 2 verso l'esterno

Principio

Per ogni nodo, la somma delle forze deve essere zero:

$$\sum F_{\text{nodo}} = 0$$

Procedimento

1. Disegnare il diagramma di corpo libero per ogni membro
2. Identificare forze esterne e reazioni vincolari
3. Applicare equazioni cardinali a ogni membro
4. Risolvere il sistema

4. DINAMICA DEI ROBOT

4.1 Due Problemi Fondamentali

1. Dinamica Diretta

Input: Coppie ai giunti τ

Output: Accelerazioni dei giunti \ddot{q}

Equazione: $\ddot{q} = f(q, \dot{q}, \tau)$

Applicazione: Simulazione del comportamento del robot

2. Dinamica Inversa

Input: Traiettoria desiderata q, \dot{q}, \ddot{q}

Output: Coppie necessarie τ

Equazione: $\tau = f(q, \dot{q}, \ddot{q})$

Applicazione: Controllo del robot

4.2 Equazione di Lagrange

Forma Standard

$$\tau = M(q)\ddot{q} + C(q,\dot{q})\dot{q} + G(q)$$

Dove:

- **M(q)**: matrice d'inerzia ($n \times n$)
- **C(q,̇q)**: matrice dei termini centrifughi e di Coriolis ($n \times n$)
- **G(q)**: vettore delle forze gravitazionali ($n \times 1$)

Proprietà Importanti

1. **M(q)** è simmetrica e definita positiva
2. **ℳ - 2C** è antisimmetrica (proprietà fondamentale per il controllo)
3. **G(q)** deriva da un potenziale gravitazionale

4.3 Dinamica del Manipolatore Planare a Due Bracci (RR)

Configurazione

E
/
/ L₂, m₂
/ θ₂
A
/
/ L₁, m₁
/ θ₁
O (base)

Matrice d'Inerzia M(q)

$$M = [M_{11} \ M_{12}] \\ [M_{12} \ M_{22}]$$

Elementi:

$$M_{11} = I_1 + I_2 + m_1 r_1^2 + m_2 [L_1^2 + r_2^2 + 2L_1 r_2 \cos(\theta_2)]$$

$$M_{12} = M_{21} = I_2 + m_2 [r_2^2 + L_1 r_2 \cos(\theta_2)]$$

$$M_{22} = I_2 + m_2 r_2^2$$

Dove:

- I_i : momento d'inerzia del link i
- m_i : massa del link i
- r_i : distanza dal giunto al centro di massa
- L_i : lunghezza del link i

Termini Centrifughi e di Coriolis $C(q, \dot{q})$

$$C(q, \dot{q})\dot{q} = [c_1]$$

$$[c_2]$$

$$c_1 = -m_2 L_1 r_2 \sin(\theta_2) [2\theta_1 \dot{\theta}_2 + \dot{\theta}_2^2]$$

$$c_2 = m_2 L_1 r_2 \sin(\theta_2) \dot{\theta}_1^2$$

Interpretazione:

- Proporzionali a θ^2 (forze centrifughe)
- Proporzionali a $\theta_1 \theta_2$ (forze di Coriolis)

Termini Gravitazionali $G(q)$

$$G = [G_1]$$

$$[G_2]$$

$$G_1 = [m_1 r_1 + m_2 L_1] g \cdot \cos(\theta_1) + m_2 r_2 g \cdot \cos(\theta_1 + \theta_2)$$

$$G_2 = m_2 r_2 g \cdot \cos(\theta_1 + \theta_2)$$

Interpretazione:

- Dipendono da $\sin(\theta_i)$ o $\cos(\theta_i)$
- Copie necessarie per sostenere il peso dei link

4.4 Relazione con la Statica

Caso Statico ($\dot{q} = 0, \ddot{q} = 0$)

L'equazione dinamica si riduce a:

$$\tau = G(q)$$

Solo i termini gravitazionali rimangono!

Questo coincide con:

$$\tau = J^T(q) \cdot F_{\text{gravità}}$$

5. ESEMPI GENERICI

5.1 Centro di Velocità - Biella-Manovella

Configurazione

B (pistone) ——> V_B (solo orizzontale)



| L_2 (biella)



A (cerniera)



/ L_1 (manovella)



O (centro fisso)

$\odot \omega_1$

Procedimento

Step 1: Velocità del punto A

$$V_A = \omega_1 \times L_1$$

Direzione: perpendicolare a OA (tangente alla rotazione)

Step 2: Identificare il CIR della biella

Il CIR si trova all'intersezione delle rette perpendicolari alle velocità:

- Retta 1: passa per A, perpendicolare a V_A

- Retta 2: passa per B, verticale (perpendicolare a V_B orizzontale)

Step 3: Trovare ω_2 (velocità angolare biella)

Una volta trovato il CIR (punto C):

$$\omega_2 = V_A / |CA|$$

oppure

$$\omega_2 = V_B / |CB|$$

Step 4: Velocità del pistone

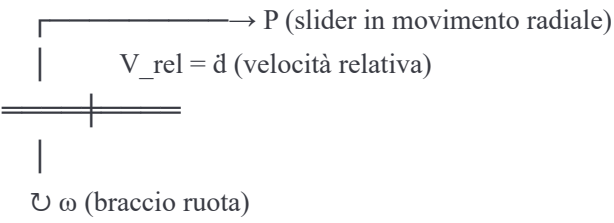
$$V_B = \omega_2 \times |CB|$$

Interpretazione Fisica

- $\theta_1 = 0^\circ$ o 180° : biella allineata, $\omega_2 \rightarrow 0$, V_B massima
 - $\theta_1 = 90^\circ$ o 270° : configurazione intermedia
 - Il CIR si sposta continuamente durante il moto!
-

5.2 Teorema di Coriolis - Slider su Braccio Rotante

Configurazione



Analisi delle Accelerazioni

Accelerazione assoluta:

$$a_P(\text{assoluta}) = a_P(\text{trascinamento}) + a_P(\text{relativa}) + a_P(\text{Coriolis})$$

1. Accelerazione di trascinamento:

$$a_{\text{trascinamento}} = a_{\text{tangenziale}} + a_{\text{centripeta}}$$

$$a_{\text{tangenziale}} = \alpha \times d \quad (\text{dovuta all'accelerazione angolare } \alpha)$$

Direzione: tangenziale (perpendicolare al raggio)

$$\text{Modulo: } |a_t| = \alpha \cdot d$$

$$a_{\text{centripeta}} = -\omega^2 \cdot d \quad (\text{dovuta alla rotazione})$$

Direzione: radiale verso il centro

$$\text{Modulo: } |a_n| = \omega^2 \cdot d$$

2. Accelerazione relativa:

$$a_{\text{relativa}} = \ddot{d} \quad (\text{accelerazione lungo il raggio})$$

Direzione: radiale

3. Accelerazione di Coriolis:

$$a_{\text{Coriolis}} = 2\omega \times V_{\text{relativa}}$$

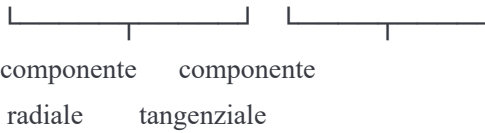
$$\text{Modulo: } |a_c| = 2\omega \cdot d$$

Direzione: perpendicolare sia a ω che a V_{rel} (tangenziale)

Forma Vettoriale Completa

In un riferimento polare (\hat{r}, θ) :

$$a_P = [\ddot{d} - \omega^2 d] \hat{r} + [\alpha d + 2\omega \dot{d}] \theta$$



Quando è Importante?

- Gru rotanti: oggetto sollevato mentre la gru ruota
- Robot con giunti prismatici rotanti: termine dominante ad alte velocità
- Turbine con palette mobili

Se ω è molto grande e d è significativo, a_{Coriolis} può dominare!

5.3 Jacobiano e Singolarità - Manipolatore RR

Configurazione

E (end effector)

/

/ L₂

/ θ₂

A

/

/ L₁

/ θ₁

O (base)

Cinematica Diretta

$$x = L_1 \cos(\theta_1) + L_2 \cos(\theta_1 + \theta_2)$$

$$y = L_1 \sin(\theta_1) + L_2 \sin(\theta_1 + \theta_2)$$

Jacobiano (derivando)

$$J = [\partial x / \partial \theta_1 \quad \partial x / \partial \theta_2]$$

$$[\partial y / \partial \theta_1 \quad \partial y / \partial \theta_2]$$

$$J = [-L_1 \sin(\theta_1) - L_2 \sin(\theta_1 + \theta_2) \quad -L_2 \sin(\theta_1 + \theta_2)]$$

$$[L_1 \cos(\theta_1) + L_2 \cos(\theta_1 + \theta_2) \quad L_2 \cos(\theta_1 + \theta_2)]$$

Forma Compatta

$$J = [-L_1 s_1 - L_2 s_{12} \quad -L_2 s_{12}]$$

$$[L_1 c_1 + L_2 c_{12} \quad L_2 c_{12}]$$

Dove: $s_1 = \sin(\theta_1)$, $c_1 = \cos(\theta_1)$, $s_{12} = \sin(\theta_1 + \theta_2)$, $c_{12} = \cos(\theta_1 + \theta_2)$

Determinante e Singolarità

$$\det(J) = L_1 L_2 \sin(\theta_2)$$

Singolarità quando:

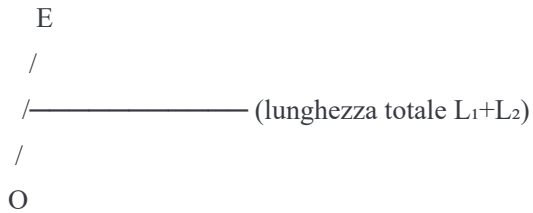
$$\sin(\theta_2) = 0$$

→ $\theta_2 = 0^\circ$ (braccio esteso)

→ $\theta_2 = 180^\circ$ (braccio ripiegato)

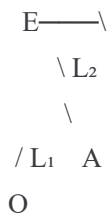
Interpretazione delle Singolarità

$\theta_2 = 0^\circ$ (braccio esteso):



- End effector può muoversi solo su un arco
- Impossibile generare velocità radiale (allontanamento/avvicinamento)
- Perdita di 1 DOF

$\theta_2 = 180^\circ$ (braccio ripiegato):



- Configurazione "gomito indietro"
- Stessa perdita di DOF
- End effector su arco di raggio |L₁ - L₂|

Indice di Manipolabilità

$$\mu(q) = |\det(J)| = |L_1 L_2 \sin(\theta_2)|$$

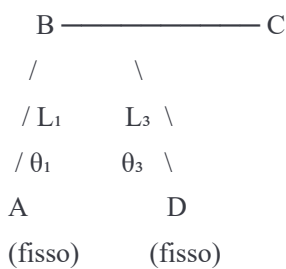
Massimo quando: $\theta_2 = \pm 90^\circ$ (braccio a L)

Minimo quando: $\theta_2 = 0^\circ$ o 180° (singolarità)

Interpretazione: μ misura "quanto bene" il robot può muoversi in tutte le direzioni.

5.4 Principio dei Lavori Virtuali - Quadrilatero Articolato

Configurazione



Forza F applicata nel punto medio di BC

Procedimento Generale

Step 1: Gradi di libertà

$$m = 3b - 2r \text{ (per meccanismi planari)}$$

$$b = 3 \text{ (membri mobili: AB, BC, CD)}$$

$$r = 4 \text{ (coppie rotoidali: A, B, C, D)}$$

$$m = 3(3) - 2(4) = 1 \Rightarrow \text{un solo parametro libero (es. } \theta_1\text{)}$$

Step 2: Cinematica del punto di applicazione

Coordinate del punto medio M di BC:

$$x_M = (x_B + x_C)/2$$

$$y_M = (y_B + y_C)/2$$

Dove:

$$x_B = L_1 \cos(\theta_1)$$

$$y_B = L_1 \sin(\theta_1)$$

x_C, y_C dipendono da θ_3 , che dipende da θ_1 (vincolo di chiusura)

Step 3: Spostamento virtuale

$$\delta y_M = \partial y_M / \partial \theta_1 \cdot \delta \theta_1$$

Step 4: Equazione PLV

$$\delta W = 0$$

$$M_A \cdot \delta \theta_1 - F \cdot \delta y_M = 0$$

$$M_A \cdot \delta \theta_1 = F \cdot (\partial y_M / \partial \theta_1) \cdot \delta \theta_1$$

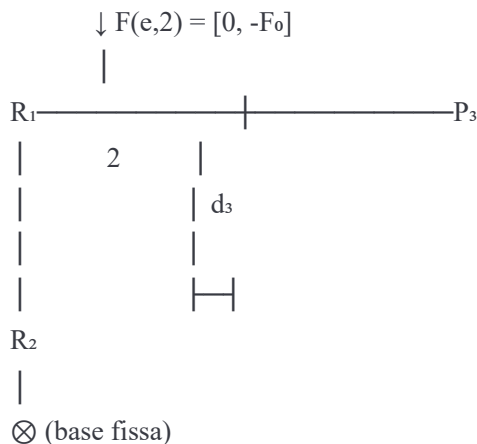
$$M_A = F \cdot (\partial y_M / \partial \theta_1)$$

Vantaggi del PLV

- Non servono le reazioni vincolari in B, C, D
- Metodo sistematico per sistemi complessi
- Facile da automatizzare (derivate parziali)

6. ESEMPIO COMPLETO RRP

6.1 Configurazione del Sistema



Legenda:

- R₁: giunto rotoidale (θ_1)
- R₂: giunto rotoidale (θ_2)
- P₃: giunto prismatico (d₃)
- Link 2: connette R₁ a P₃
- F(e,2): forza esterna verticale applicata sul link 2

6.2 Parametri del Sistema

L₁: lunghezza link 1 (da base a R₁)

L₂: lunghezza link 2 (da R₁ al punto di attacco prismatico)

d₃: estensione del giunto prismatico

$F(e,2) = [0, -F_0]$: forza verticale verso il basso

Punto di applicazione: distanza 'a' da R_1 lungo il link 2

6.3 CASO A: Forza sul Link 2

Posizioni dei Punti Chiave

Punto R_1 (fine del link 1):

$$P_1 = [L_1 \cos(\theta_1)]$$

$$[L_1 \sin(\theta_1)]$$

Punto di applicazione della forza F (sul link 2):

$$P_F = P_1 + a \cdot [\cos(\theta_1 + \theta_2)]$$

$$[\sin(\theta_1 + \theta_2)]$$

$$P_F = [L_1 \cos(\theta_1) + a \cdot \cos(\theta_1 + \theta_2)]$$

$$[L_1 \sin(\theta_1) + a \cdot \sin(\theta_1 + \theta_2)]$$

Jacobiano del Punto F

$$J_F = [\partial P_F / \partial \theta_1 \ \ \partial P_F / \partial \theta_2 \ \ \partial P_F / \partial d_3]$$

Derivando P_F :

$$\partial P_F / \partial \theta_1 = [-L_1 \sin(\theta_1) - a \cdot \sin(\theta_1 + \theta_2)]$$

$$[L_1 \cos(\theta_1) + a \cdot \cos(\theta_1 + \theta_2)]$$

$$\partial P_F / \partial \theta_2 = [-a \cdot \sin(\theta_1 + \theta_2)]$$

$$[a \cdot \cos(\theta_1 + \theta_2)]$$

$$\partial P_F / \partial d_3 = [0] \text{ (il punto F sul link 2 non dipende da } d_3)$$

$$[0]$$

Jacobiano completo:

$$J_F = [-L_1 \sin(\theta_1) - a \cdot \sin(\theta_1 + \theta_2) \quad -a \cdot \sin(\theta_1 + \theta_2) \quad 0]$$

$$[L_1 \cos(\theta_1) + a \cdot \cos(\theta_1 + \theta_2) \quad a \cdot \cos(\theta_1 + \theta_2) \quad 0]$$

Calcolo delle Coppie/Forze ai Giunti

$$\tau = J_F^T \cdot F(e,2)$$

$$\tau = [-L_1 \sin(\theta_1) - a \cdot \sin(\theta_1 + \theta_2) \quad L_1 \cos(\theta_1) + a \cdot \cos(\theta_1 + \theta_2)] \quad [0]$$
$$[-a \cdot \sin(\theta_1 + \theta_2) \quad a \cdot \cos(\theta_1 + \theta_2)] \times [-F_0]$$
$$[0 \quad 0]$$

Risultati:

$$\tau_1 = -F_0 \cdot [L_1 \cos(\theta_1) + a \cdot \cos(\theta_1 + \theta_2)]$$



braccio della forza

$$\tau_2 = -F_0 \cdot a \cdot \cos(\theta_1 + \theta_2)$$



braccio rispetto a R₁

$$\tau_3 = 0 \leftarrow \text{IMPORTANTE!}$$

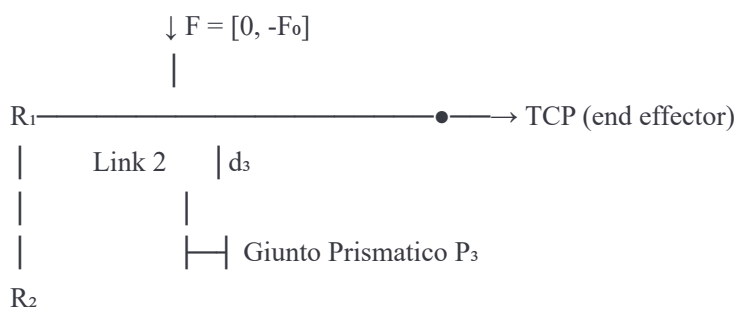
Perché $\tau_3 = 0$?

Spiegazione:

- La forza è applicata sul link 2, NON sul link 3
- Il giunto prismatico si muove lungo il link 2
- La forza F_0 è perpendicolare all'asse prismatico
- Il giunto prismatico non "trasmette" questa forza esterna

6.4 CASO B: Forza sull'End Effector (TCP)

Configurazione



\otimes (base)

Posizione del TCP

$$\begin{aligned} P_{TCP} = & [L_1 \cos(\theta_1) + (L_2 + d_3) \cos(\theta_1 + \theta_2)] \\ & [L_1 \sin(\theta_1) + (L_2 + d_3) \sin(\theta_1 + \theta_2)] \end{aligned}$$

Jacobiano dell'End Effector

Derivazione colonna per colonna:

Colonna 1 (θ_1):

$$\begin{aligned} \partial P_{TCP} / \partial \theta_1 = & [-L_1 \sin(\theta_1) - (L_2 + d_3) \sin(\theta_1 + \theta_2)] \\ & [L_1 \cos(\theta_1) + (L_2 + d_3) \cos(\theta_1 + \theta_2)] \end{aligned}$$

Colonna 2 (θ_2):

$$\begin{aligned} \partial P_{TCP} / \partial \theta_2 = & [-(L_2 + d_3) \sin(\theta_1 + \theta_2)] \\ & [(L_2 + d_3) \cos(\theta_1 + \theta_2)] \end{aligned}$$

Colonna 3 (d_3):

$$\begin{aligned} \partial P_{TCP} / \partial d_3 = & [\cos(\theta_1 + \theta_2)] \leftarrow \text{CHIAVE!} \\ & [\sin(\theta_1 + \theta_2)] \end{aligned}$$

Interpretazione: Il prismatico sposta il TCP nella direzione del link 2!

Jacobiano Completo

$$\begin{aligned} J_{TCP} = & [-L_1 s_1 - (L_2 + d_3) s_{12} \quad -(L_2 + d_3) s_{12} \quad \cos(\theta_1 + \theta_2)] \\ & [L_1 c_1 + (L_2 + d_3) c_{12} \quad (L_2 + d_3) c_{12} \quad \sin(\theta_1 + \theta_2)] \end{aligned}$$

Calcolo $\tau = J^T \cdot F$

$$\tau = J_{TCP}^T \cdot F$$

$$\begin{aligned} \tau = & [-L_1 s_1 - (L_2 + d_3) s_{12} \quad L_1 c_1 + (L_2 + d_3) c_{12}] \quad [0] \\ & [-(L_2 + d_3) s_{12} \quad (L_2 + d_3) c_{12}] \cdot [-F_0] \\ & [\cos(\theta_1 + \theta_2) \quad \sin(\theta_1 + \theta_2)] \end{aligned}$$

Risultati:

$$\tau_1 = -F_0[L_1 \cos(\theta_1) + (L_2 + d_3) \cos(\theta_1 + \theta_2)]$$

$$\tau_2 = -F_0(L_2 + d_3) \cos(\theta_1 + \theta_2)$$

$$\tau_3 = -F_0 \cdot \sin(\theta_1 + \theta_2) \leftarrow \text{ORA NON È PIÙ ZERO!}$$



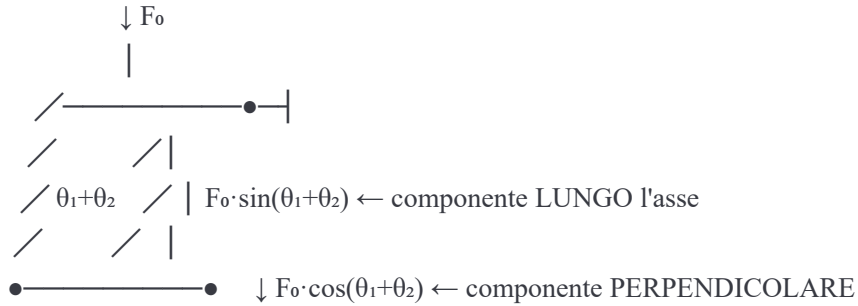
componente lungo

asse prismatico

6.5 Schema Dettagliato: Perché $\tau_3 \neq 0$ sul TCP?

PASSO 1: Decomposizione della Forza

Forza F sul TCP inclinato:



$$F = F_{\text{parallelo}} + F_{\text{perpendicolare}}$$

$$F_{\text{parallelo}} = F_0 \cdot \sin(\theta_1 + \theta_2) \quad (\text{lungo l'asse del prismatico})$$

$$F_{\text{perpendicolare}} = F_0 \cdot \cos(\theta_1 + \theta_2) \quad (\text{perpendicolare all'asse})$$

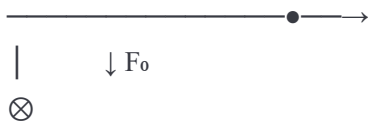
PASSO 2: Prodotto Scalare

$$\begin{aligned} \tau_3 &= F \cdot \text{direzione_prismatico} \\ &= [0, -F_0] \cdot [\cos(\theta_1 + \theta_2), \sin(\theta_1 + \theta_2)] \\ &= 0 \cdot \cos(\theta_1 + \theta_2) + (-F_0) \cdot \sin(\theta_1 + \theta_2) \\ &= -F_0 \cdot \sin(\theta_1 + \theta_2) \end{aligned}$$

Il giunto prismatico SENTE la componente della forza lungo il suo asse!

PASSO 3: Casi Limite (Verifica)

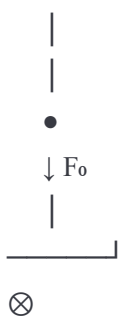
Caso 1: Link Orizzontale ($\theta_1 + \theta_2 = 0^\circ$)



$$\tau_3 = -F_o \cdot \sin(0^\circ) = 0 \checkmark$$

PERCHÉ? La forza è PERPENDICOLARE all'asse prismatico!

Caso 2: Link Verticale ($\theta_1 + \theta_2 = 90^\circ$)

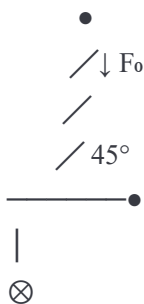


$$\tau_3 = -F_o \cdot \sin(90^\circ) = -F_o \text{ (massimo!)}$$

PERCHÉ? La forza è PARALLELA all'asse prismatico!

Il prismatico deve fornire tutta la forza F_o .

Caso 3: Link a 45° ($\theta_1 + \theta_2 = 45^\circ$)



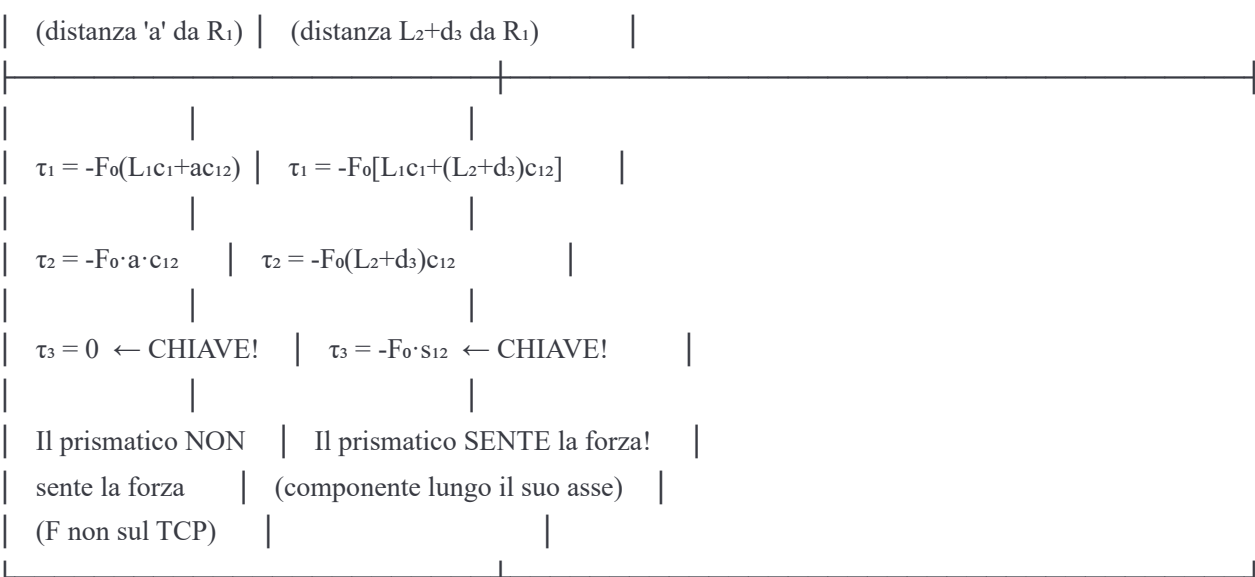
$$\tau_3 = -F_o \cdot \sin(45^\circ) = -F_o \cdot 0.707 \approx -0.7F_o$$

PERCHÉ? Circa 70% della forza va lungo il prismatico,
30% è assorbito dalla rotazione di R_2 .

6.6 Confronto Finale: F su Link 2 vs F su TCP

| F su Link 2 |

| F su TCP (end effector) |



Notazione: $c_1 = \cos(\theta_1)$, $s_{12} = \sin(\theta_1+\theta_2)$, ecc.

6.7 Verifica con Principio dei Lavori Virtuali

Spostamento Virtuale del TCP

$$\delta P_{TCP} = \partial P_{TCP}/\partial \theta_1 \cdot \delta \theta_1 + \partial P_{TCP}/\partial \theta_2 \cdot \delta \theta_2 + \partial P_{TCP}/\partial d_3 \cdot \delta d_3$$

Componente y:

$$\delta y_{TCP} = [...] \cdot \delta \theta_1 + [...] \cdot \delta \theta_2 + \sin(\theta_1+\theta_2) \cdot \delta d_3$$



Lavoro Virtuale

$$\delta W = \tau_1 \cdot \delta \theta_1 + \tau_2 \cdot \delta \theta_2 + \tau_3 \cdot \delta d_3 - F_0 \cdot \delta y_{TCP} = 0$$

Termine con δd_3 :

$$\tau_3 \cdot \delta d_3 = F_0 \cdot \sin(\theta_1+\theta_2) \cdot \delta d_3$$

Quindi:

$$\tau_3 = F_0 \cdot \sin(\theta_1+\theta_2) \quad (\text{come forza motrice})$$

$$\text{O } \tau_3 = -F_0 \cdot \sin(\theta_1+\theta_2) \quad (\text{come forza resistente})$$

Il PLV conferma il risultato dello Jacobiano! ✓

7. FORMULE DI RIEPILOGO

7.1 Cinematica

Legge Fondamentale

$$V_B = V_A + \omega \times (B - A)$$

Accelerazione

$$a_B = a_A + \alpha \times (B - A) + \omega \times (\omega \times (B - A))$$

Accelerazione di Coriolis

$$a_{\text{Coriolis}} = 2\omega \times V_{\text{relativa}}$$

Jacobiano

$$\begin{aligned} V &= J(q) \cdot \dot{q} \\ \dot{q} &= J^{-1}(q) \cdot V \quad [\text{se } \det(J) \neq 0] \end{aligned}$$

Singolarità

$$\det(J) = 0 \rightarrow \text{perdita di DOF}$$

7.2 Equazioni di Chiusura

Gradi di Mobilità

$$\begin{aligned} 2D: m &= 3b - 2(r + p) \\ 3D: m &= 6b - 5(r + p) \end{aligned}$$

Equazione Vettoriale

$$L_1 + L_2 + \dots + L_n = 0$$

Componenti:

$$\sum L_i \cos(\theta_i) = 0$$

$$\sum L_i \sin(\theta_i) = 0$$

Velocità (derivando)

$$J_{\text{vincoli}} \cdot \dot{\theta} = 0$$

7.3 Statica

Equazioni Cardinali

$$\sum F = 0$$

$$\sum M = 0$$

Principio dei Lavori Virtuali

$$\delta W = \sum F_i \cdot \delta r_i + \sum M_i \cdot \delta \theta_i = 0$$

Dualità Cinetostatica

$$\text{Cinematica: } V = J(q) \cdot \dot{q}$$

$$\text{Statica: } \tau = J^T(q) \cdot F$$

Momento

$$M = r \times F$$

$$M = r \cdot F \cdot \sin(\theta) \quad (\text{forma scalare 2D})$$

7.4 Dinamica

Equazione di Lagrange

$$\tau = M(q)\ddot{q} + C(q,\dot{q})\dot{q} + G(q)$$

Dove:

- $M(q)$: matrice d'inerzia
- $C(q,\dot{q})$: termini centrifughi e Coriolis
- $G(q)$: termini gravitazionali

Forza d'Inerzia

$$F_{\text{inerzia}} = -ma$$

Caso Statico

$$\dot{q} = 0, \ddot{q} = 0 \rightarrow \tau = G(q)$$

7.5 Quick Reference - Quando Usare Cosa

Problema	Metodo Consigliato
Velocità meccanismi semplici	Centro di velocità (CIR)
Velocità meccanismi complessi	Equazioni di chiusura + derivazione
Accelerazioni con rotazioni	Teorema di Coriolis
Velocità manipolatori	Jacobiano geometrico
Forze ai giunti (statica)	$\tau = J^T \cdot F$
Coppie senza reazioni vincolari	Principio lavori virtuali
Controllo robot	Modello dinamico completo
Catene chiuse	Equazioni di chiusura
Singolarità	$\det(J) = 0$

7.6 Checklist per Esercizi

Analisi Cinematica

- Identificare tipo di catena (aperta/chiusa)
- Calcolare gradi di libertà
- Scrivere cinematica diretta
- Derivare per ottenere Jacobiano
- Verificare singolarità ($\det(J) = 0$)

Analisi Statica

- Identificare forze esterne
- Calcolare Jacobiano nella configurazione data
- Applicare $\tau = J^T \cdot F$
- Verificare con calcolo diretto del momento

Analisi Dinamica

- Calcolare matrice d'inerzia $M(q)$
- Calcolare termini $C(q, \dot{q})$
- Calcolare termini gravitazionali $G(q)$
- Assemblare $\tau = M\ddot{q} + C\dot{q} + G$

Catene Chiuse

- Scrivere equazioni di chiusura
 - Derivare per velocità
 - Derivare ancora per accelerazioni
 - Risolvere con Newton-Raphson se necessario
-

8. CALCOLO DELLE FORZE INTERNE

8.1 Concetto di Forze Interne

Definizione

Le **forze interne** sono le forze che si trasmettono tra i link del manipolatore per bilanciare le forze esterne applicate.

Notazione Standard

$f_{i,j}$: forza che il link i esercita sul link j
 $f_{j,i}$: forza che il link j esercita sul link i (reazione)

Per il principio di azione-reazione:

$$f_{i,j} = -f_{j,i}$$

Perché Calcolarle?

- **Dimensionamento strutturale:** Sapere quali forze deve sopportare ogni link
- **Scelta degli attuatori:** Dimensionare motori e riduttori
- **Analisi delle sollecitazioni:** Verificare resistenza meccanica

- **Prevenzione rotture:** Identificare punti critici
-

8.2 Metodo: Propagazione delle Forze (Force Propagation)

Principio Generale

Le forze si propagano dalla punta (dove è applicata la forza esterna) verso la base, link per link.

Procedimento Standard

Step 1: Partire dall'end effector (o punto di applicazione forza esterna)

Step 2: Applicare equilibrio statico a ogni link, procedendo verso la base

Step 3: Per ogni link i:

Equilibrio delle forze:

$$\sum F_i = 0$$

$$f_{i-1,i} + f_{i,i+1} + f_{ext,i} + f_{gravità,i} = 0$$

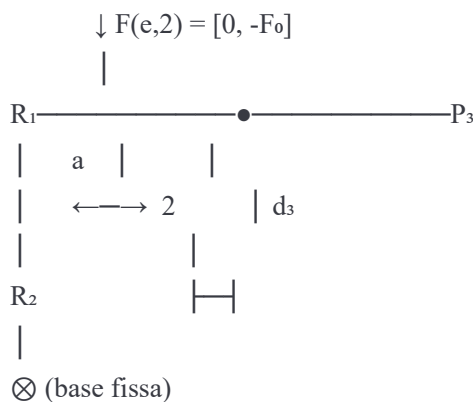
Equilibrio dei momenti (rispetto al centro del link):

$$\sum M_i = 0$$

Step 4: Risolvere il sistema link per link

8.3 ESEMPIO RRP - CASO A: Forza sul Link 2

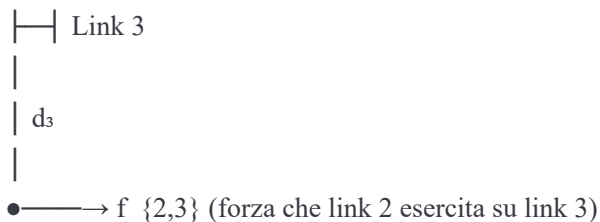
Configurazione Ripasso



Dati:

- Forza F_0 applicata a distanza 'a' da R_1 sul link 2
- End effector scarico (nessuna forza esterna su TCP)

Step 1: Equilibrio del Link 3 (Parte Prismatica)



End effector scarico:

$$f_{3,TCP} = [0, 0] \text{ (nessuna forza esterna all'estremità)}$$

Equilibrio delle forze sul link 3:

$$f_{2,3} + f_{3,TCP} = 0$$

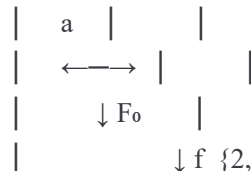
$$f_{2,3} = -f_{3,TCP} = [0, 0]$$

Risultato importante: Il link 3 NON trasmette forze perché la forza è applicata sul link 2, non su di lui!

Step 2: Equilibrio del Link 2

$$f_{1,2} \text{ (da trovare)}$$

↓



Forze agenti sul link 2:

- $f_{1,2}$: forza dal link 1 (incognita)
- $F(e,2) = [0, -F_0]$: forza esterna applicata
- $f_{2,3} = [0, 0]$: forza verso link 3 (già trovata)
- Peso proprio (se considerato)

Equilibrio delle forze:

$$f_{\{1,2\}} + F(e,2) + f_{\{2,3\}} = 0$$

$$f_{\{1,2\}} + [0, -F_0] + [0, 0] = 0$$

$$f_{\{1,2\}} = [0, F_0] \text{ (verso l'alto)}$$

Interpretazione: Il giunto R_1 deve esercitare una forza F_0 verso l'alto per bilanciare la forza esterna.

Equilibrio dei momenti rispetto a R_1 :

$$M_{\{R_1\}} + r_F \times F(e,2) = 0$$

$$\text{Dove } r_F = [a \cdot \cos(\theta_1 + \theta_2), a \cdot \sin(\theta_1 + \theta_2)]$$

$$M_{\{R_1\}} = -r_F \times F(e,2)$$

$$M_{\{R_1\}} = -[a \cdot \cos(\theta_1 + \theta_2), a \cdot \sin(\theta_1 + \theta_2)] \times [0, -F_0]$$

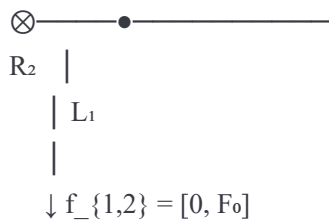
$$M_{\{R_1\}} = -[0, 0, -a \cdot F_0 \cdot \cos(\theta_1 + \theta_2)]$$

$$M_{\{R_1\}} = [0, 0, a \cdot F_0 \cdot \cos(\theta_1 + \theta_2)]$$

Questo è il momento che R_1 deve fornire! (coincide con τ_2 calcolato prima)

Step 3: Equilibrio del Link 1

$$f_{\{\text{base},1\}} \text{ (da trovare)}$$



Link 1

Equilibrio delle forze:

$$f_{\{\text{base},1\}} + f_{\{1,2\}} = 0$$

$$f_{\{\text{base},1\}} + [0, F_0] = 0$$

$$f_{\{\text{base},1\}} = [0, -F_0] \text{ (verso il basso)}$$

Interpretazione: La base deve reagire con una forza uguale e opposta alla forza esterna.

Equilibrio dei momenti rispetto alla base:

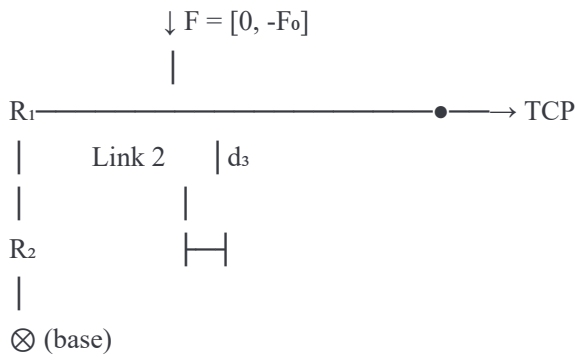
$$M_{\text{base}} + r_{R_1} \times f_{1,2} + \text{momento da } R_1 = 0$$

Dove $r_{R_1} = [L_1 \cos(\theta_1), L_1 \sin(\theta_1)]$

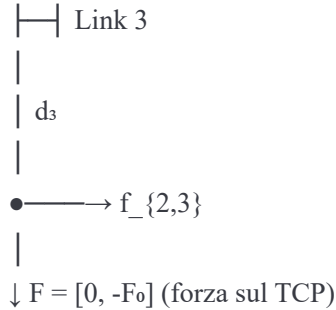
M_{base} = momento totale che la base deve fornire
 $= \tau_1$ (calcolato con Jacobiano)

8.4 ESEMPIO RRP - CASO B: Forza sul TCP

Configurazione Ripasso



Step 1: Equilibrio del Link 3 (Parte Prismatica)



Equilibrio delle forze sul link 3:

$$f_{2,3} + F = 0$$

$$f_{2,3} + [0, -F_0] = 0$$

$$f_{2,3} = [0, F_0] \text{ (verso l'alto)}$$

ORA IL LINK 3 TRASMETTE FORZA! Perché la forza è applicata su di lui.

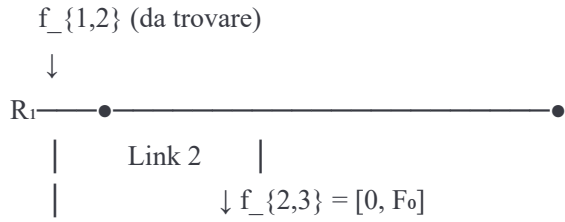
Verifica con componente prismatica:

La componente di F lungo l'asse prismatico è:

$$\begin{aligned}
 F_{\text{prismatico}} &= F \cdot \text{direzione_asse} \\
 &= [0, -F_0] \cdot [\cos(\theta_1+\theta_2), \sin(\theta_1+\theta_2)] \\
 &= -F_0 \cdot \sin(\theta_1+\theta_2)
 \end{aligned}$$

Questo coincide con τ_3 !

Step 2: Equilibrio del Link 2



Equilibrio delle forze:

$$\begin{aligned}
 f_{\{1,2\}} + f_{\{2,3\}} &= 0 \\
 f_{\{1,2\}} + [0, F_0] &= 0
 \end{aligned}$$

$$f_{\{1,2\}} = [0, -F_0] \quad (\text{verso il basso})$$

Aspetta! Questo sembra sbagliato... Ma non lo è!

Spiegazione: Il link 2 riceve da R_1 una forza verso il basso che poi trasmette al link 3 come forza verso l'alto (per azione-reazione).

Equilibrio dei momenti rispetto a R_1 :

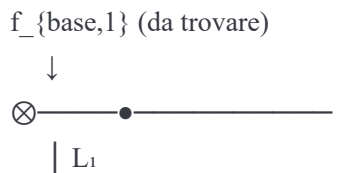
$$M_{\{R_1\}} + r_{\{\text{TCP}\}} \times F = 0$$

$$\text{Dove } r_{\{\text{TCP}\}} = [(L_2+d_3)\cos(\theta_1+\theta_2), (L_2+d_3)\sin(\theta_1+\theta_2)]$$

$$\begin{aligned}
 M_{\{R_1\}} &= -r_{\{\text{TCP}\}} \times F \\
 M_{\{R_1\}} &= [0, 0, (L_2+d_3) \cdot F_0 \cdot \cos(\theta_1+\theta_2)]
 \end{aligned}$$

Questo coincide con τ_2 !

Step 3: Equilibrio del Link 1



$$\downarrow f_{\{1,2\}} = [0, -F_0]$$

Equilibrio delle forze:

$$f_{\{\text{base},1\}} + f_{\{1,2\}} = 0$$

$$f_{\{\text{base},1\}} = [0, F_0]$$

Ma questo non può essere giusto! La base dovrebbe reagire con $[0, -F_0]$...

ERRORE CONCETTUALE! Devo considerare meglio le forze...

Correzione: Analisi Completa delle Forze

Il problema è che stiamo dimenticando le **componenti orizzontali** e i **vincoli dei giunti rotoidali**.

8.5 Metodo Corretto: Diagramma di Corpo Libero Completo

Principio

Ogni link è in equilibrio sotto l'azione di:

1. Forze/momenti dai giunti adiacenti
2. Forze esterne applicate
3. Peso proprio (se considerato)

Notazione Completa per Giunti

Giunto Rotoidale:

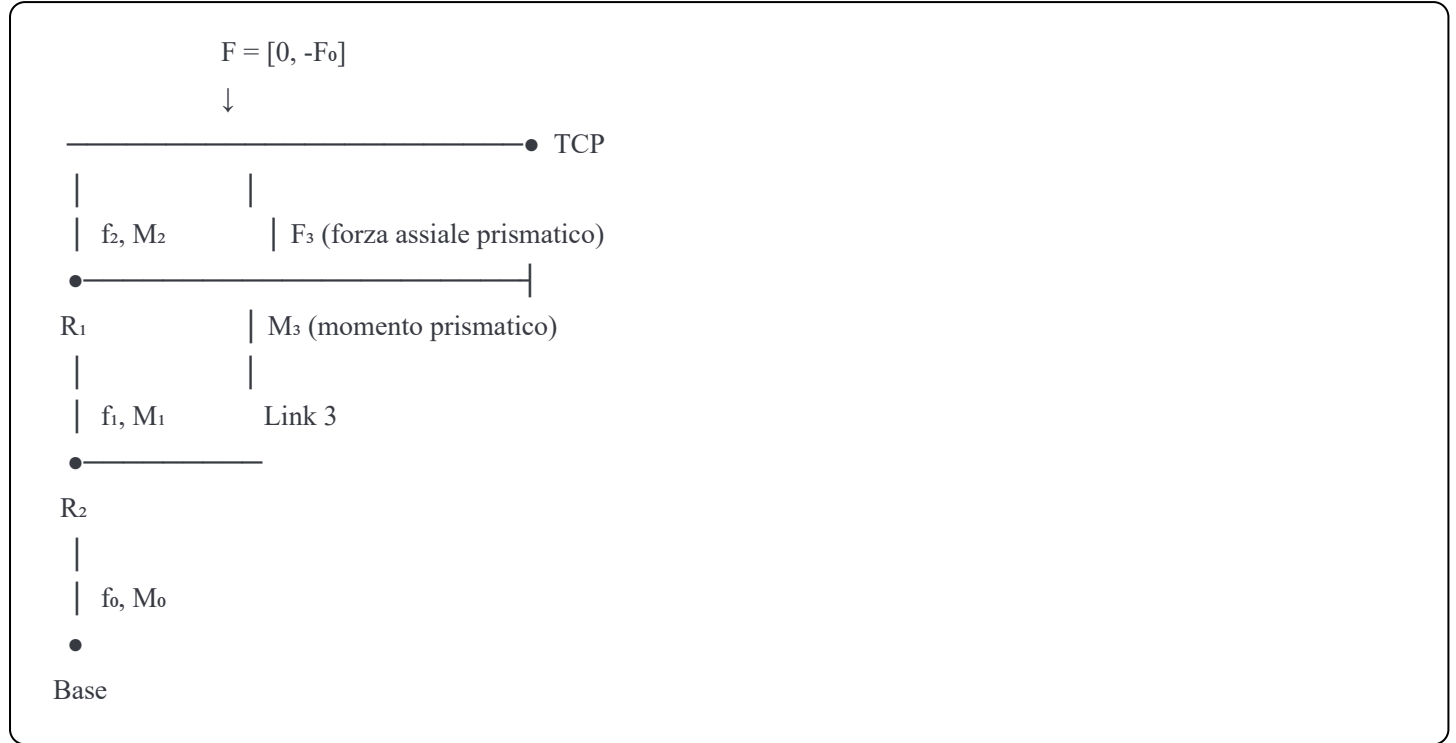
Trasmette:
- Forza f (2 componenti: f_x, f_y)
- Momento M (1 componente per robot planare)

Giunto Prismatico:

Trasmette:
- Forza lungo l'asse F_{assiale}
- Momento M_{perp} (perpendicolare all'asse)
- Forza perpendicolare f_{perp} (se vincolo bilaterale)

8.6 ESEMPIO COMPLETO: RRP con F sul TCP (Metodo Corretto)

Configurazione con Forze e Momenti



LINK 3 (Parte Prismatica + TCP)

Forze:

- $F = [0, -F_0]$ al TCP
- $f_{\{2,3\}} = [f_{2x}, f_{2y}]$ dal link 2
- M_2 momento dal link 2

Equilibrio traslazionale:

$$f_{\{2,3\}} + F = 0$$
$$f_{\{2,3\}} = [0, F_0]$$

Equilibrio rotazionale (rispetto al punto di attacco con link 2):

$$M_2 + r_{\{\text{TCP}\}} \times F = 0$$

$$\text{Dove } r_{\{\text{TCP}\}} = [d_3 \cdot \cos(\theta_1 + \theta_2), d_3 \cdot \sin(\theta_1 + \theta_2)]$$

$$M_2 = -d_3 \cdot \cos(\theta_1 + \theta_2) \cdot F_0$$

LINK 2 (Braccio Principale)

Forze:

- $f_{\{1,2\}} = [f_{1x}, f_{1y}]$ dal link 1
- M_1 momento dal link 1
- $f_{\{2,3\}} = [0, -F_0]$ verso link 3 (reazione)
- M_2 (calcolato sopra)

Equilibrio traslazionale:

$$f_{\{1,2\}} + f_{\{2,3\}} = 0$$

$$f_{\{1,2\}} = -f_{\{2,3\}} = [0, F_0]$$

NO! Questo ignora le componenti orizzontali create dai momenti!

Approccio Migliore: Usare le Coppie τ Già Calcolate

In realtà, il metodo più pratico è:

Le forze interne si ricavano da:

1. τ ai giunti (già calcolato con J^T)
2. Geometria del sistema
3. Equilibrio locale

8.7 Formula Pratica per Forze Interne

Metodo Semplificato

Forza che il giunto i deve trasmettere:

Per un manipolatore a catena aperta con forza F_{ext} sul TCP:

f_i = forza necessaria al giunto i per equilibrare tutto ciò che sta "dopo" di lui

Si calcola propagando dalla punta:

- Parti dal TCP con F_{ext}
- Ogni giunto accumula le forze dei giunti successivi

Algoritmo Ricorsivo (dalla punta alla base)

Per $i = n, n-1, \dots, 1$:

1. $f_{\{i,i+1\}} = f_{\{i+1,ext\}}$ (forza verso il link successivo)

2. $f_{\{i-1,i\}} = -f_{\{i,i+1\}} - F_{\{ext,i\}}$ (equilibrio)

$$3. M_i = M_{i+1} + r_i \times F_i \text{ (momento accumulato)}$$

8.8 CALCOLO PRATICO: Forze Interne RRP

Dati di Input

Configurazione: $\theta_1 = 45^\circ$, $\theta_2 = 90^\circ$, $d_3 = 0.3$ m

Lunghezze: $L_1 = 0.5$ m, $L_2 = 0.4$ m

Forza: $F = [0, -100 \text{ N}]$ sul TCP

Calcolo τ (già fatto)

$$\begin{aligned}\tau_1 &= -100 \cdot [0.5 \cdot \cos(45^\circ) + (0.4+0.3) \cdot \cos(135^\circ)] \\ &= -100 \cdot [0.354 - 0.495] \\ &= 14.1 \text{ Nm}\end{aligned}$$

$$\begin{aligned}\tau_2 &= -100 \cdot (0.7) \cdot \cos(135^\circ) \\ &= 49.5 \text{ Nm}\end{aligned}$$

$$\begin{aligned}\tau_3 &= -100 \cdot \sin(135^\circ) \\ &= -70.7 \text{ N}\end{aligned}$$

Forze sui Link

Link 3 (prismatico):

Forza assiale: $F_3 = \tau_3 = -70.7 \text{ N}$ (compressione)
Forza sul vincolo: $[0, 100 \text{ N}]$ (verso l'alto per equilibrare F)

Link 2:

Al giunto R_1 deve trasmettere:
- Momento: $M = 49.5 \text{ Nm}$
- Forza risultante che equilibra tutto il sistema a valle

Componente lungo link 2: $F_3 = 70.7 \text{ N}$
Componente perpendicolare: dipende dalla geometria

Link 1:

Deve trasmettere tutto alla base:

- Momento: $M = 14.1 \text{ Nm}$

- Forza: $[0, -100 \text{ N}]$ (uguale e opposta a F_{ext})

Forza alla Base (Reazione Vincolare)

$$f_{\text{base}} = -F_{\text{ext}} = [0, 100 \text{ N}] \text{ (verso l'alto)}$$

$$M_{\text{base}} = \tau_1 = 14.1 \text{ Nm}$$

Verifica: La base reagisce esattamente come previsto!

8.9 Schema Riassuntivo: Propagazione delle Forze

Direzione di Propagazione

TCP —→ Link n —→ Link n-1 —→ ... —→ Link 1 —→ BASE

F_{ext} accumula accumula accumula f_{base}
forze forze forze (reazione)

Formule Ricorsive

Forze:

Link n (end effector):

$$f_{\{n-1,n\}} = F_{\text{ext}}$$

Link i (generico):

$$f_{\{i-1,i\}} = f_{\{i,i+1\}} + F_{\{\text{ext},i\}} + m_i \cdot g$$

Momenti:

Link i:

$$M_{\{i-1\}} = M_i + r_{\{i,\text{com}\}} \times f_i + \tau_i$$

Dove:

- $r_{\{i,\text{com}\}}$: vettore dal giunto i al centro di massa del link i
- τ_i : coppia fornita dal giunto i (calcolata con J^T)

8.10 Quando Considerare il Peso dei Link

Con Peso dei Link

Se i link hanno massa significativa:

Equilibrio del link i :

$$f_{\{i-1,i\}} + f_{\{i,i+1\}} + F_{\text{ext},i} + m_i \cdot g = 0$$

Dove:

$$m_i \cdot g = [0, -m_i \cdot g] \quad (\text{forza peso verso il basso})$$

Modifica al calcolo:

$$\tau = J^T \cdot F_{\text{ext}} + G(q)$$

Dove $G(q)$ sono i termini gravitazionali (peso dei link)

Senza Peso dei Link (Semplificazione)

Se i link sono leggeri rispetto alla forza esterna:

Ignoriamo $m_i \cdot g$

$$\tau = J^T \cdot F_{\text{ext}}$$

8.11 Riepilogo Completo

Per Forza sul Link 2 (non TCP)

LINK 3: Scarico

$$f_{\{2,3\}} = [0, 0]$$

$$\tau_3 = 0$$

LINK 2: Riceve tutta la forza esterna

$$f_{\{1,2\}} = -F(e,2) = [0, F_0]$$

$$M_1 \text{ (al giunto } R_1) = a \cdot F_0 \cdot \cos(\theta_1 + \theta_2) = \tau_2$$

LINK 1: Trasmette alla base

$$f_{\{\text{base},1\}} = -f_{\{1,2\}} = [0, -F_0]$$

$$M_{\text{base}} = \tau_1$$

BASE: Reagisce

Forza: $[0, F_0]$

Momento: τ_1

Per Forza sul TCP

LINK 3: Riceve forza dal TCP

$$f_{\{2,3\}} = [0, F_0]$$

$$\text{Forza assiale: } \tau_3 = -F_0 \cdot \sin(\theta_1 + \theta_2)$$

LINK 2: Trasmette forze e momenti

$$f_{\{1,2\}} = [0, F_0] \text{ (componente verticale)}$$

+ componente lungo l'asse

$$M_1 = \tau_2$$

LINK 1: Trasmette alla base

$$f_{\{\text{base},1\}} = [0, -F_0]$$

$$M_{\text{base}} = \tau_1$$

BASE: Reagisce con forza e momento totali

Forza: $[0, F_0]$

Momento: τ_1

Formula Generale

Per qualsiasi configurazione:

1. Calcola $\tau = J^T(q) \cdot F_{\text{ext}}$

2. Le forze interne si propagano dalla punta:

$$f_i = \text{somma delle forze esterne su link } i, i+1, \dots, n$$

3. La base reagisce con:

$$f_{\text{base}} = -\sum F_{\text{ext}} \text{ (somma di tutte le forze esterne)}$$

$$M_{\text{base}} = \tau_1$$

FINE DEL DOCUMENTO

Buono studio!  